

*Г. Т. Володин*

## РАСПРЕДЕЛЕНИЕ ПАРАМЕТРОВ ПРОДУКТОВ ДЕТОНАЦИИ КОНДЕНСИРОВАННЫХ ВВ

При использовании одного из известных уравнений состояния продуктов детонации в пренебрежении несущественным изменением удельной теплоемкости в исследуемом интервале температур найдено в квадратурах решение задачи о детонации конденсированных ВВ. В качестве примера рассмотрена задача о детонации нитроглицерина. Отмечены особенности полученных распределений плотности, давления, температуры, скоростей частиц для всех возможных видов симметрии одномерных движений.

Решение задачи о детонации конденсированных ВВ связано с двумя, по-видимому, определяющими проблемами: необходимостью располагать надежным уравнением состояния продуктов детонации (ПД) и учитывать структуру фронта детонационной волны (ДВ). Обстоятельный критический анализ уравнений состояния ПД конденсированных ВВ дан в [1], анализу структуры фронта ДВ посвящены работы [2—4].

В предлагаемом исследовании уравнение состояния ПД используется в форме, предложенной в [5] и исследованной в [6]. Структура фронта ДВ принимается по классической модели Зельдовича — Неймана — Деринга [2]. На основе анализа зависимости  $c_V(T)$ , приведенной в [6], предполагается, что в исследуемом диапазоне температуры ПД удельная теплоемкость при постоянном объеме изменяется с температурой мало: считается, что  $c_V(T) = c_{V_0} = \text{const}$ . По методу [7] найдены распределения плотности, скоростей частиц, давления, температуры за фронтом ДВ.

Систему уравнений, описывающих движение ПД за фронтом УВ, запишем в виде

$$\begin{aligned} \frac{\partial \rho}{\partial t} + \frac{\partial(u\rho)}{\partial r} + (v - 1)\frac{\rho u}{r} &= 0, \\ \frac{\partial u}{\partial t} + u \frac{\partial u}{\partial r} + \frac{1}{\rho} \frac{\partial p}{\partial r} &= 0, \quad \frac{\rho - \rho_3}{\rho_2 - \rho_3} = \left(\frac{r}{r_2}\right)^\delta, \end{aligned} \quad (1)$$

где  $\rho = \rho(r, t)$ ,  $p = p(r, t)$ ,  $u = u(r, t)$  — искомые плотность, давление, скорости частиц в точке с эйлеровой координатой  $r$  в момент времени  $t$ ;  $r_2$  — координата фронта;  $\rho_2$  и  $\rho_3$  — соответственно плотность на фронте (при  $r = r_2$ ) и в центре симметрии;  $v$  — показатель одномерности потока ( $v = 1, 2, 3$  — соответственно для плоской, цилиндрической и сферической симметрии);  $\delta$  — искомый показатель степени.

В системе (1) первое и второе уравнения представляют собой законы сохранения массы и количества движения, а третье — формулировку гипотезы о степенному законе распределения плотности в возмущенной области [7].

Для состояния ПД возьмем [6]

$$p = G\varphi(\rho)T, \quad (2)$$

где  $G = R_*/m$ ,  $\varphi(\rho) = \rho(1 + b\rho + 0,625b^2\rho^2 + 0,287b^3\rho^3 + 0,193b^4\rho^4)$ ;  $R_*$  — универсальная газовая постоянная;  $m$  — молярная масса;  $b$  — константа.

Границные условия для системы уравнений (1): в центре симметрии

$$u(0, t) = 0, \quad (3)$$

на фронте УВ

$$p(r_2, t) = p_2, \quad \rho(r_2, t) = \rho_2, \quad u(r_2, t) = u_2. \quad (4)$$

При этом  $p$ ,  $\rho$  и  $u$  на фронте связаны между собой и скоростью фронта  $D$  условиями динамической совместности

$$\begin{aligned} u_2 &= (1 - \rho_1/\rho_2)D, \quad p_2 - p_1 = \rho_1 u_2 D, \\ E_2 - E_1 &= (p_1 + p_2)(1/\rho_1 - 1/\rho_2)/2 + Q_1, \end{aligned} \quad (5)$$

$\rho_1$ ,  $p_1$ ,  $E_1$  — плотность, давление, удельная внутренняя энергия исходного ВВ в невозмущенном состоянии;  $Q_1$  — удельная энергия взрывчатого превращения. Начальное условие для рассматриваемой задачи

$$r_2(0) = 0. \quad (6)$$

Запишем интегральные законы сохранения массы и энергии для всей возмущенной области:

$$\int_0^{r_2} \rho r^{v-1} dr = \frac{\rho_1}{v} r_2^v, \quad (7)$$

$$\int_0^{r_2} \left( \frac{u^2}{2} + E \right) \rho r^{v-1} dr = \frac{\sigma_0}{\sigma_v} + \frac{\rho_1 r_2^v}{v} (E_1 + Q_1), \quad (8)$$

где

$$\sigma_v = 2\pi(v-1) + (v-2)(v-3).$$

Поставленную задачу преобразуем к безразмерному виду, для этого введем безразмерные переменные

$$\begin{aligned} x &= r/r_2, \quad y = \rho/\rho_2, \quad z = u/u_2, \quad h = p/p_2, \\ e &= E/E_2, \quad f = (\rho - \rho_3)/(\rho_2 - \rho_3), \quad \lambda = \rho_3/(\rho_2 - \rho_3), \\ q &= a_1/D, \quad \alpha = 1 - \rho_1/\rho_2, \quad \tau = T/T_2, \quad R = r_2/r_1, \end{aligned} \quad (9)$$

где  $a_1$  — скорость звука в исходном ВВ;  $r_1$  — радиус (характерный размер) заряда ВВ.

В общем случае взрыва величины  $f$ ,  $z$ ,  $h$  есть функции двух аргументов  $x$  и  $q$ . В режиме нормальной детонации  $q = \text{const}$ , следовательно, переменные  $f$ ,  $z$ ,  $h$  — функции одного аргумента  $x$ . Введение безразмерных величин переводит систему в частных производных (1) в систему обыкновенных дифференциальных уравнений, которая после соответствующих преобразований примет вид:

$$\begin{aligned} \frac{dz}{dx} + \left( \frac{v-1}{x} + \frac{1}{f+\lambda} \frac{df}{dx} \right) z - \frac{x}{\alpha(f+\lambda)} \frac{df}{dx} &= 0, \\ \frac{dh}{dx} - \frac{(f+\lambda)(x-\alpha z)}{(1-\alpha)(\lambda+1) [1 + p_1/(\rho_1 \alpha D^2)]} \frac{dz}{dx} &= 0, \\ f - x^\delta &= 0. \end{aligned} \quad (10)$$

Границные условия (3) и (4) для (10):

$$z(0) = 0, \quad f(1) = 1, \quad h(1) = 1, \quad z(1) = 1. \quad (11)$$

Преобразуем теперь условия динамической совместности (5). Учитывая, что удельная внутренняя энергия  $E$  определяется по формуле [8]

$$E = \int_T c_V(T) dT - \int_{\rho} \left[ \left( \frac{\partial p}{\partial t} \right)_\rho T - p \right] \frac{d\rho}{\rho^2}$$

и полагая  $c_V(T) = c_{V_0} = \text{const}$  в исследуемом интервале температур, а также учитывая уравнение состояния (2) и зависимость внутренней энергии  $E(T)$  ПД от температуры [5], получим

$$E = E_0 [b_1(T/T_0) + b_2], \quad (12)$$

где  $E_0$ ,  $T_0$  — заданные размерные константы;  $b_1$  и  $b_2$  — безразмерные константы, соответствующие кривой  $E = E(T)$ . Из условия Чепмена — Жуге

$$D = u_2 + a_2 \quad (13)$$

( $a = (kp/\rho)^{1/2}$ ,  $k$  — показатель политропы) и (5) получим систему алгебраических уравнений относительно  $k_2$  и  $\alpha$

$$\alpha = \frac{1 - k_2 p_1 / (\rho_1 D^2)}{k_2 + 1},$$

$$\frac{E_0}{Q_1} \left[ \frac{(p_1 + \alpha \rho_1 D^2) b_1}{T_0 G \varphi (\rho_1 / (1 - \alpha))} + b_2 \right] - \frac{(2p_1 + \alpha \rho_1 D^2) \alpha}{2\rho_1 Q_1} - \frac{E_1}{Q_1} - 1 = 0. \quad (14)$$

Условия динамической совместности (5) примут вид

$$u_2 = \alpha D, \quad \rho_2 = \rho_1 / (1 - \alpha), \quad p_2 - p_1 = \alpha \rho_1 D^2. \quad (15)$$

Система (14), (15) определяет параметры на фронте ДВ, а температура на фронте находится по уравнению состояния (2).

Найдем теперь решение системы (10), удовлетворяющее граничным условиям (11). Подставляя  $f = x^\delta$  в первое уравнение системы (10), получим дифференциальное уравнение относительно функции  $z(x)$

$$\frac{dz}{dx} + \left( \frac{\nu - 1}{x} + \frac{\delta x^{\delta-1}}{x^\delta + \lambda} \right) z - \frac{\delta x^\delta}{\alpha (x^\delta + \lambda)} = 0.$$

Его решение, удовлетворяющее условию  $z(0) = 0$ , имеет вид

$$z = \frac{(\lambda + 1) x^{\delta+1}}{x^\delta + \lambda}. \quad (16)$$

Используя найденное выражение для  $z$ , преобразуем второе уравнение системы (10)

$$\frac{dh}{dx} = \frac{x^\delta}{(1 - \alpha)} \left\{ [1 - \alpha(\lambda + 1)] x + \frac{\lambda x}{x^\delta + \lambda} [\alpha(\lambda + 1) + 1] - \frac{\lambda(\lambda + 1)\alpha\delta x^{\delta+1}}{(x^\delta + \lambda)^2} \right\}.$$

Решение этого уравнения, удовлетворяющее условию  $h(1) = 1$ , получим в виде

$$h(x) = 1 - \frac{1}{1 - \alpha} \left[ \frac{\delta + 1}{\delta + 2} (1 - x^{\delta+2}) \right] - \int_x^1 \left\{ [\delta + \alpha(1 + \lambda)(\delta + 1)] \frac{x^{2\delta+1}}{x^\delta + \lambda} - \alpha\delta(1 + \lambda) \frac{x^{3\delta+1}}{(x^\delta + \lambda)^2} \right\} dx. \quad (17)$$

Из (9) найдем функцию

$$y = (x^\delta + \lambda) / (1 + \lambda). \quad (18)$$

Выражение для  $\delta$  получим из интегрального закона сохранения массы (7), который предварительно преобразуем к безразмерной форме:

$$\delta = \frac{\alpha v (\lambda + 1)}{1 - \alpha (\lambda + 1)}. \quad (19)$$

Из (9) и (15) найдем

$$\lambda = \frac{(1 - \alpha) \sigma}{1 - (1 - \alpha) \sigma}, \quad \sigma = \rho_2 / \rho_1. \quad (20)$$

Используя уравнение состояния (2), найдем распределение безразмерной температуры

$$\tau = \frac{h \varphi (\rho_1 / (1 - \alpha))}{\varphi (\rho_1 y / (1 - \alpha))}. \quad (21)$$

$v$	$k_2$	$\alpha$	$\sigma$	$\lambda$	$\delta$	$u_2, \text{км/с}$	$p_2, \text{ГПа}$	$\rho_2 \cdot 10^{-3}, \text{кг/м}^3$	$T_2, \text{К}$
1	3,5887	0,2179	0,8886	2,2782	2,5014	1,652	20,03	2,046	4,852
2	3,5887	0,2179	0,8740	2,1600	4,4237	1,652	20,03	2,046	4,852
3	3,5887	0,2179	0,8680	2,1136	6,3327	1,652	20,03	2,046	4,852

Итак, решение системы (10), удовлетворяющее граничным условиям (11) и определяющее распределение плотности, скоростей частиц, давления, температуры в возмущенной области, находится соответственно по формулам (18), (16), (17), (21). Входящие в них параметры  $\delta$  и  $\lambda$  — функции величины  $\sigma$ , которая определяется через характеристики ВВ с помощью интегрального закона сохранения энергии (8), представленного в безразмерных переменных:

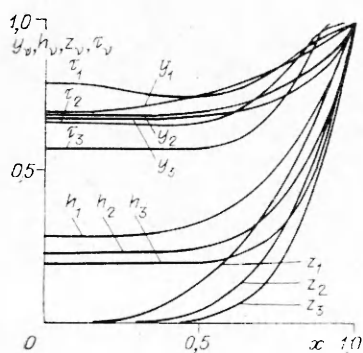
$$\frac{\alpha^2 D^2}{2Q_1(1-\alpha)} \int_0^1 yz^2 x^{v-1} dx - \frac{1}{v} \left( 1 + \frac{E_1}{Q_1} \right) + \frac{E_0}{Q_1(1-\alpha)} \int_0^1 \left[ \frac{b_1(p_1 + \alpha \rho_1 D^2) h}{GT_0 \Phi(\rho_1 y / (1-\alpha))} + b_2 \right] \times \\ \times yx^{v-1} dx - \frac{\partial_y}{\sigma_v \rho_1 Q_1 R^v r_1^v} = 0. \quad (22)$$

В таблице в качестве примера приведены результаты вычислений, выполненных на ЕС-1033 для нитроглицерина при следующих исходных данных:  $\rho_1 = 0,160 \cdot 10^4 \text{ кг/м}^3$ ,  $\rho_1 = 0,1 \cdot 10^6 \text{ Па}$ ,  $E_1 = 0,228 \cdot 10^6 \text{ Дж/кг}$ ,  $D = 0,758 \cdot 10^4 \text{ м/с}$ ,  $r_1 = 0,1 \text{ м}$ ,  $Q_1 = 0,62 \cdot 10^7 \text{ Дж/кг}$ ,  $\varTheta_0 = 0,824 \cdot 10^4 \text{ Дж}$ ,  $b_1 = 1,45$ ,  $b_2 = -0,9$ ,  $T_0 = 0,1 \cdot 10^4 \text{ К}$ ,  $G = 0,266 \cdot 10^3 \text{ Дж/(кг} \cdot \text{К)}$ ,  $R_* = 0,8314 \cdot 10^4 \text{ Дж/(кмоль} \cdot \text{К)}$ ,  $b = 0,834 \cdot 10^{-3} \text{ м}^3/\text{кг}$ ,  $E_0 = 0,127 \cdot 10^7 \text{ Дж/кг}$ ,  $R = 1$ .

На рисунке представлены графики распределений безразмерных плотностей  $y_v(x)$ , давлений  $h_v(x)$ , скоростей частиц  $z_v(x)$ , температур  $\tau_v(x)$  по безразмерной координате  $x$  за фронтом ДВ, полученных по формулам (18), (17), (16), (21) при указанных в таблице значениях параметров детонации и принятых исходных данных.

Из этих графиков следует, что плотность, давление и температура ПД для цилиндрической и сферической симметрий в области  $0 \leq x \leq x_{*v}$  ( $x_{*v} \approx 0,5$ ) постоянны. Для плоской симметрии ( $v = 1$ ) область постоянных значений в распределениях плотности и температуры существенно меньше соответствующих случаям  $v = 2$  и  $3$ , а распределение давления при  $v = 1$  имеет область постоянных величин, незначительно отличающуюся от соответствующей области в распределениях  $h_v(x)$  при  $v = 2$  и  $3$ . Скорости частиц в центральной области пренебрежимо малы до  $x = 0,26$ ,  $0,38$  и  $0,49$  соответственно для плоской, цилиндрической и сферической волны. На указанных расстояниях их значения  $< 1\%$  от скоростей частиц на фронте волны, так что эти области условно можно считать покоящимися. На остальных участках скорости растут с расстоянием и тем быстрее, чем больше  $v$ .

Распределения давлений внутри возмущенной области для всех видов симметрии детонационных волн качественно подобны: во всех случаях наблюдается значительный участок практически постоянного давления, который затем переходит сначала в плавное, а потом в быстрое нарастание. Разрежение в центре симметрии тем больше, чем выше  $v$ , поэтому и площадки постоянного давления для цилиндрической волны ниже, чем для плоской, а для сферической ниже, чем цилиндрической. По этой же причине и пространственная протя-



жениость этих площадок тем больше, чем выше значение  $v$ .

Полученные результаты согласуются с соответствующими распределениями, приведенными в [9].

#### ЛИТЕРАТУРА

1. Зубарев В. Н., Евстигнеев А. А. Уравнения состояния продуктов взрыва конденсированных ВВ // ФГВ.— 1984.— 20, № 6.
2. Зельдович Я. Б., Компанец А. С. Теория детонации.— М.: ГИТТЛ, 1955.
3. Бахрах С. М., Евстигнеев А. А., Зубарев В. Н. и др. Влияние конечной скорости разложения ВВ на определение детонационных параметров // ФГВ.— 1981.— 17, № 6.
4. Дорохин В. В., Зубарев В. Н., Орекин Ю. К. и др. Исследование движения продуктов взрыва за фронтом детонационной волны // ФГВ.— 1985.— 21, № 4.
5. Юхансон К., Персон П. Детонация взрывчатых веществ.— М.: Мир, 1973.
6. Мельникова Н. С., Саламахин Т. М. О расчете точечного взрыва в различных газах // ПМТФ.— 1964.— № 4.
7. Станюкович К. П. Неустановившиеся движения сплошной среды.— М.: Наука, 1971.
8. Физика взрыва/Под ред. К. П. Станюкова.— М.: Наука, 1975.
9. Taylor J. Detonation in condensed explosives.— Oxford, 1952.

г. Тула

Поступила в редакцию 11/VII 1989,  
после доработки — 19/III 1990

УДК 621.787.044

B. A. Симонов

### О КРИТЕРИИ СХВАТЫВАНИЯ МЕТАЛЛОВ ПРИ СВАРКЕ ВЗРЫВОМ

Экспериментально обоснован критерий схватывания, как необходимое условие сварки при высокоскоростных косых соударениях пластин. Критерий выражается зависимостью минимального значения скорости точки контакта от микротвердости и плотности свариваемых металлов.

Гидродинамическая модель явлений, сопровождающих высокоскоростные косые соударения поверхностей металлических тел (кумуляция, волнообразование, сварка), не содержит связанных с прочностью металлов ограничений на значения основных кинематических параметров, поскольку считается, что в окрестности точки контакта прочностные сплы на два порядка меньше инерционных [1]. Вместе с тем в [2—4] наличие пластических деформаций в зоне соединения отмечается как обязательное условие сварки взрывом. Очевидно, что возникновение пластических деформаций на контактирующих поверхностях не может не зависеть от прочностных свойств свариваемых металлов и должно быть связано с фиксированными значениями параметров соударения.

Наиболее типичное проявление пластической деформации при сварке взрывом — волнообразование. Как установлено в [5], для каждой пары металлов переход от прямолинейной границы соединения к волнообразной осуществляется при постоянном значении скорости точки контакта  $v_k''$ , которое определяет соответствующее давление  $\rho_{v_k''}$ , связанное либо с микротвердостью металлов  $H_v$  [6], либо с их теоретической прочностью [2] (критерии волнообразования). На плоскости  $(v_k'', \gamma)$  (где  $\gamma$  — угол соударения) этот переход выражается прямой  $v_k'' = \text{const}$ , вдоль которой критическое давление  $\rho v_k''^2 / 2$  остается постоянным. Тогда безвольновые режимы соударения должны ограничиваться слева еще одной границей, расположенной между прямой  $v_k'' = \text{const}$  и осью ординат — начало процесса сварки.

Как известно из теории сварки давлением [7], взаимодействие свариваемых поверхностей начинается с образования физического контакта при смятии микронеровностей. Процесс возникновения локальных оч-